

研究

単一縦モード半導体レーザーによる Nd : YVO₄ 結晶の吸収スペクトルの測定

小西 泰司・尾松 孝茂・長谷川 朗・小倉 磐夫

千葉大学工学部画像工学科 〒263 千葉市稲毛区弥生町 1-33

(1992年10月8日受付, 1993年1月26日受理)

Measurement of Absorption Spectrum of Nd : YVO₄ Crystal Using Single Longitudinal Laser Diode

Yasushi KONISHI, Takashige OMATSU, Akira HASEGAWA and Iwao OGURA

Department of Image Science, Faculty of Engineering, Chiba University,
1-33, Yayoi-cho, Inage-ku, Chiba 263

(Received October 8, 1992; Accepted January 26, 1993)

We measured absorption spectrum of Nd : YVO₄ crystal by scanning wavelength of single longitudinal mode laser diode. The wavelength is scanned by controlling the temperature of laser diode and the range of scanning is near the peak of absorption spectrum. In our method the detail of the absorption spectrum can be obtained because of using the light source with a spectrum width of 300 MHz at FWHM. We found that absorption spectrum has peak with the high absorption coefficient between 808 nm and 809 nm.

1. はじめに

半導体レーザー(LD)励起固体レーザーはフラッシュランプ励起に比べて、高効率である、小型化が可能である、などの利点を持つ。特に、レーザー媒質として、Nd : YVO₄はNd : YAGに比べLD光の吸収効率が高く、超小型レーザーとして期待されている¹⁻⁴⁾。現在、固体レーザーの励起源として使用されているプロードエリア型LDはスペクトル幅が広く、集光性が悪い。縦シングルモードLDの高出力化が実現されれば、さらに励起効率が向上できると考えられる。しかし、縦シングルモードLDは戻り光や温度変化によるモードホッピングや波長変化に大変弱い⁵⁾。縦シングルモードLDを固体レーザーの励起源として使用した場合、固体レーザーの吸収線のピークは鋭いため、LDの発振波長の安定性が固体レーザーの出力安定度を決定してしまう。したがってLDの波長制御を議論するには、Nd : YVO₄の吸収ピーク付近での吸収係数を微細に知ることが不可欠となる。

これまでNd : YVO₄の吸収率測定は分光光度計で行われてきたが、固体レーザーとして用いられるNd : YVO₄の結晶サイズは極めて小さく、分光光度計による吸収率測定が困難である。また大きさの小さい試料を分光光度計を用いて吸収率を測定した場合、分解能は試料の大きさに依存する。例えば3mm角の試料を分光光度計で吸収率測定を行った場合、実効的な分解能は数nmとなり、吸収係数の微細な構造を測定することができなかった。

本研究は、シングルモードLDのわずかな発振波長の変動が固体レーザーの出力安定性に及ぼす影響を調べることを目的とする。そのため、Nd : YVO₄の吸収ピーク発振で発振するシングルモードLDの発振波長の温度依存性を利用して、809 nm近傍でLDの波長掃引を行い、Nd : YVO₄結晶の吸収係数を測定した。

2. 実験

2.1 測定用光源

測定用光源としてはシャープ製 LD LTO 17 MD (最

大出力 50 mW, 発振波長 $\lambda=810 \text{ nm}$) を使用した。この LD の発振モードを光スペクトラムアナライザー (FSR = 1500 GHz, フィネス約 150) で観測した。発振スペクトルを Fig. 1 に示す。シングルモード発振していることがこの図からわかる。使用する LD のスペクトル広がりが、測定結果の周波数分解能を決定するため、さらに正確なスペクトル幅を知る必要がある。

われわれはマイケルソンの干渉計を用いて LD の時間的コヒーレンスを測定し、そのコヒーレンス関数から周波数広がりを換算した。Fig. 2 にコヒーレンス関数の測定結果を示す。スペクトル広がりをローレンツ型関数で仮定すれば、コヒーレンス関数は指数的な減衰関数で与えられる。コヒーレンス関数を指数関数で fitting して、関数の減衰時間から換算すると、スペクトル幅は 300 MHz (FWHM) となった。LD の波長掃引による吸収係数の分光測定は、従来の分光光度計で得られる結果よりはるかに微細なスペクトル構造の情報を得ることが可能であると考えられる。

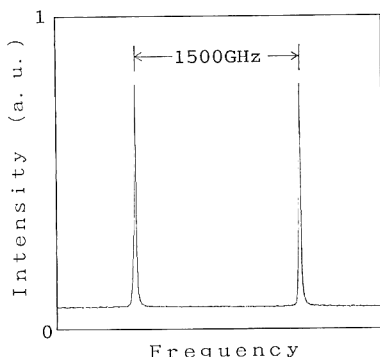


Fig. 1 Longitudinal mode of laser diode (LTO 17MD). Free spectrum range is 1500 GHz and finesse is about 150.

2.2 LD の発振波長の温度特性

使用する LD の発振波長の温度特性を測定した。APC (自動出力制御), ATC (自動温度制御) 駆動による波長制御がなされた LD のケース温度を 11~40 °C まで 0.5 °C ピッチで徐々に温度を上げ、そのときの LD の発振波長を絶対値の測定が可能な波長計 (アドバンテスト製 TQ 8325) で測定した。モードホッピングが起こるために、一台の LD では連続的な波長掃引はできない。そこで、モードホッピング波長の異なる二台の LD を並用し、809 nm 近傍において連続的な波長掃引を可能にした。使用した二台の LD の発振波長温度依存性を Fig. 3 に示す。この結果から 808~810 nm の波長域で連続掃引できることがわかる。なお、ATC の安定度は ±0.05 °C 以下である。

2.3 LD 発振波長掃引による Nd: YVO₄ 結晶の吸収率測定

使用した測定サンプルは a-cut, Nd 添加量 1.0 at.% で大きさが 3×3×1 mm の Nd: YVO₄ 結晶である。測定光学系を Fig. 4 に示す。LD の発振波長をモニター

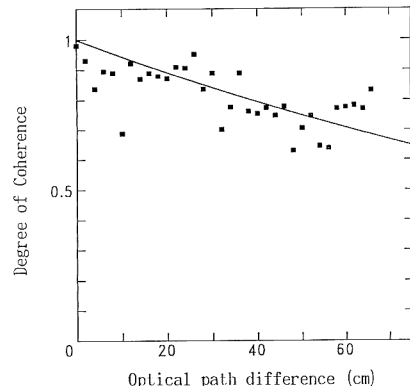


Fig. 2 Temporal coherence function of laser diode beam.

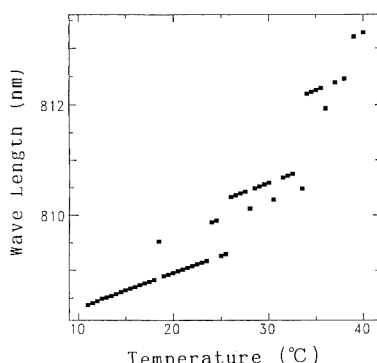
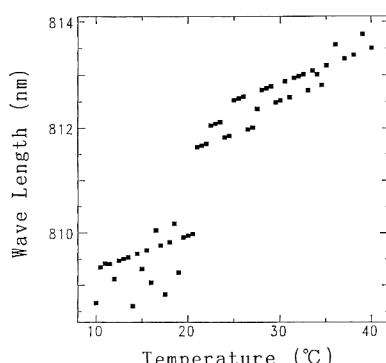


Fig. 3 Wavelength of laser diode vs. temperature of laser case.



しながら、LD光をNd:YVO₄結晶に入射し、結晶からの透過光を計測する。吸収のピークは809 nmに存在するといわれているため808~809 nmにかけてはLDの温度掃引を0.1°Cピッチすなわち周波数間隔3 GHz(波長間隔0.007 nm)で計測を行った。Nd:YVO₄結晶は、C軸方向の偏光に対して吸収率が大きい。そこで、LD光は結晶中で異常光線となるように入射した。

Nd:YVO₄結晶の吸収率の測定結果をFig. 5に示す。この測定結果をもとにNd:YVO₄結晶の吸収係数を算出した。

LD光が結晶に入射するとき、また結晶から光が出射する時、反射が生じる。入射光強度をI_{in}、出射光強度をI_{out}、入射面側の反射率をR₁、出射面側の反射率をR₂、吸収係数をα、結晶の長さをLとすると以下の式が成り立つ。

$$I_{\text{out}} = (1 - R_1)(1 - R_2) \exp(-\alpha L) I_{\text{in}} \quad (1)$$

使用したサンプルには、入射面側に反射率が2%以下になるようにARコートが施されている。Nd:YVO₄

結晶の809 nm領域の異常光線の屈折率は2.16である⁶⁾。この数値をもとにしてフレネルの式を用いて計算するとR=13.5%となる。そこでNd:YVO₄結晶の反射率をR₁=2%、R₂=13.5%として(1)式を変形する次式となる。

$$\alpha = -\frac{1}{L} \ln \left\{ \frac{I_{\text{out}}}{I_{\text{in}}} \times 1.179 \right\} \quad (2)$$

この式を用いてNd:YVO₄結晶の吸収係数を算出した。この結果をFig. 6に示す。この結果によれば808.2~809.2 nmにかけて吸収係数が大変高く吸収係数は40 cm⁻¹を越えることがわかる。また、ピークは808.7 nmに存在する。そして、809.2~810 nmの領域では吸収係数が急激に減少していく。吸収係数のピークより長波長側での半値半幅は1.1 nmである。これらの数値は従来報告されている数値に比べ、ピーク値は約20%高くYAGの吸収係数の約7倍程度である⁷⁾。また、吸収線幅は、1/2程度の狭い値であった。

従来の測定系(分光光度計)において、1 mm当りのグレーティング本数をN、試料の大きさをR、分光光度計の出射側のレンズのFナンバーをF、出射側のスリット幅をWとすると実効的な分解能Δλは、

$$\Delta\lambda = \frac{W}{NRF} \quad (3)$$

で与えられることが知られている。3 mmの試料をF=10、N=1200本の分光光度計でスリット幅10 μm(エアリーディスクの大きさ)で分光特性を測定したとすると分解能は約0.3 nm(レーリー回折限界)となるが、実際には光源の強度やディテクターの感度が有限であるため、実際に分光特性を測定するためにはスリット幅を大きくする必要がある。仮にスリット幅30 μmで吸収係数を測定した場合、分解能は約1 nmとなる。そのため

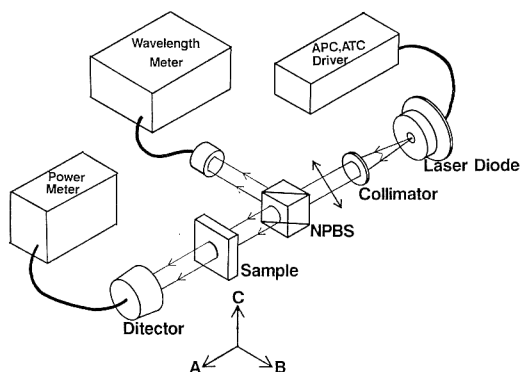


Fig. 4 Experimental arrangement for measuring absorption spectrum of Nd: YVO₄.

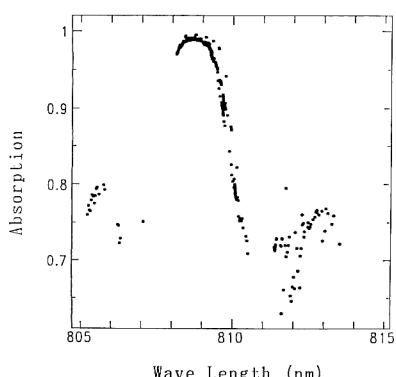


Fig. 5 Characteristic curve of absorption of Nd: YVO₄ crystal vs wavelength.

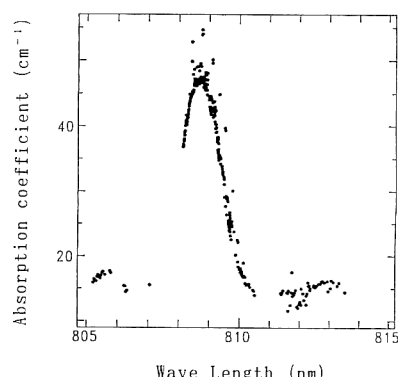


Fig. 6 Characteristic curve of absorption coefficient of Nd: YVO₄ crystal vs wavelength.

め分光光度計で吸収係数を測定した場合、数 nm のスペクトル線幅内での平均値を測定していると考えられる。それに対して当研究室で考案した分光計測方法は、測定光源の線幅が狭いために、従来報告されている数値よりピークが高く、また狭い線幅が得られたと考えられる。

YAG に比べて、吸収スペクトル幅が広い YVO₄ においても、ブロードエリア型の LD の発振線幅 ($\Delta\lambda=3\sim5\text{ nm}$) より、吸収スペクトル幅は狭く、励起効率向上には、Nd ドープ量を増やすか、あるいは、シングルモード LD の使用が不可欠であると考えられる。

3. 考 察

励起に用いる LD の強度 $I_{LD}(\lambda)$ 、Nd: YVO₄ の発振しきい値 $I_{th}(\lambda)$ とすると、Nd: YVO₄ レーザーの発振強度 $I_{YVO_4}(\lambda)$ は

$$I_{YVO_4}(\lambda) = \eta(\lambda)(I_{LD}(\lambda) - I_{th}(\lambda)) \quad (4)$$

で与えられる。ここで、 λ は励起用 LD の波長、 $\eta(\lambda)$ はスロープ効率である。 $\eta(\lambda)$ は Nd: YVO₄ の吸収率と線形的な関係をもつので、 $I_{LD}(\lambda)$ が $I_{th}(\lambda)$ に比べ十分大きい時には、 $\eta(\lambda)$ の波長依存性、すなわち、Nd: YVO₄ の吸収率の LD 波長依存性が、YVO₄ レーザーの出力を決定する。LD 波長変化による YVO₄ レーザー出力低下を 10% まで許容したとすると、励起用 LD の発振波長が 807.8~809.8 nm の間にあればよいことになる。シングルモード LD が温度による波長変動は 0.07 nm/°C であるから、LD 波長を吸収のピーク (808.7 nm) に設定すれば、温度は ± 6 °C の範囲で出力変動は ± 1 % 以下に抑制できる。

4. む す び

われわれは LD の発振波長-温度特性を利用し、従来の分光光度計よりも高波長分解能を持つ吸収分光法により、Nd: YVO₄ 結晶の吸収のピークがある 809 nm 近傍の吸収係数の測定を行った。この方法は、レンズによ

りサンプルに入射されるビームの大きさを自由に変えることができるので小さいサンプルでも測定が可能である。

Nd: YVO₄ 結晶の吸収係数は従来の測定値に比べて、約 20% 高く、吸収スペクトルの半値幅も従来言われていた幅の約 1/2 であることがわかった。これは測定光源の線幅が極めて狭いことに起因していると考えられる。さらに、808.2~809.2 nm にかけてブロードなピークが存在する。このピーク波長に LD 波長を設定すれば、固体レーザーの出力安定性は向上するものと考えられる。

最後に、この研究を行うにあたって Nd: YVO₄ 結晶を提供していただいた Dr. Ring Jiwu 氏に感謝いたします。

文 献

- 1) R. A. Fields, M. Birnbaum and C. L. Fincher : "Highly efficient diode-pumped Nd crystal laser," Technical Digest, CLEO '87 FL 4 (1987).
- 2) R. A. Fields, M. Birnbaum and C. L. Fincher : "Highly efficient Nd: YVO₄ diode-laser end-pumping laser," Appl. Phys. Lett., **51** (1987) 1885-1886.
- 3) T. Sasaki, T. Kojima, A. Yokotani, O. Oguri and S. Nakai : "Single-longitudinal-mode operation and second-harmonic generation of Nd: YVO₄ microchip lasers," Opt. Lett., **16** (1991) 1665-1667.
- 4) 永本浩一, 中塙正大, 内藤健太, 中山正宣, 吉田国雄, 佐々木孝友, 金辺忠, 中井貞雄, 斎藤誠一, 桑野泰彦: "LD 励起 Nd: YVO₄ レーザー", レーザー研究, **18** (1990) 639-645.
- 5) R. Lang and K. Kobayashi : "External optical feedback effect on semiconductor injection laser diode," IEEE J. Quantum Electron., **QE-16** (1980) 347-355.
- 6) T. Taira, A. Mukai, Y. Nozawa and T. Kobayashi : "Single-mode oscillation of laser-diode-pumped Nd: YVO₄ microchip lasers," Opt. Lett., **16** (1991) 1955-1957.
- 7) 小島哲夫, 佐々木孝友, 中井貞雄, 桑野泰彦: "LD 励起マイクロチップ固体レーザー", レーザー研究, **18** (1990) 646-651.